

МИНИСТЕРСТВО ОБРАЗОВАНИЯ И НАУКИ РОССИЙСКОЙ
ФЕДЕРАЦИИ
Федеральное государственное автономное образовательное
учреждение высшего профессионального образования
«САНКТ-ПЕТЕРБУРГСКИЙ ГОСУДАРСТВЕННЫЙ УНИВЕРСИТЕТ
АЭРОКОСМИЧЕСКОГО ПРИБОРОСТРОЕНИЯ»

КАФЕДРА №3

ОТЧЕТ
ЗАЩИЩЕН С ОЦЕНКОЙ
ПРЕПОДАВАТЕЛЬ

Доцент, кандидат
технических наук

*отм.,
Сис*
И. П. Кректунова

20.12/7

ОТЧЕТ О ЛАБОРАТОРНОЙ РАБОТЕ №10
«ОПРЕДЕЛЕНИЕ СКОРОСТИ ЗВУКА В ВОЗДУХЕ »

По курсу общей физики

РАБОТУ ВЫПОЛНИЛА

СТУДЕНТКА
ГР. №

1732

20.12.2017 / Мануфр

В.И. Чапурина

Санкт-Петербург 2017

vk.com/club152685050

vk.com/id446425943

Протокол измерений
Лабораторная работа №10.

Определение скорости звука в воздухе

Синдженка Ирина 1732

преподаватель

Чайкина В. И.

Крекишова И. Н.

Прибор	Наименование предела изм.	Прибор цена деления	класс точн.	сист. погрешн.
Линейка	64 см	1 см	—	2 мм
Термометр	52 °C	1 °C	—	0,5 °C
Частотометр (осциллограф)	99,9 · 10 ³ Гц	10 Гц	—	5 Гц

Результаты измерений

$$\nu_1 = 1500 \text{ Гц}$$

	1	2	3	4	5
$l_{\text{впр}}(\text{см})$	23	47	—	—	—
$l_{\text{об}}(\text{см})$	11	35,5	59	—	—
$l_{\text{ср}}(\text{см})$	17	41,25	59	—	—

$$\nu_2 = 2000 \text{ Гц}$$

	1	2	3	4	5
$l_{\text{впр}}(\text{см})$	17	35	52	—	—
$l_{\text{об}}(\text{см})$	9	26,5	43	60	—
$l_{\text{ср}}(\text{см})$	13	30,75	47,5	60	—

$$t = 19^\circ\text{C}$$

Дата 6.12.2017

подпись студента Мансур

подпись преподавателя

06.12.17

vk.com/club152685050

vk.com/id446425943

Лабораторная работа №0.

Определение скорости звука в воздухе.

Цель работы: определение скорости распространения звуковых волн в воздухе.

Лабораторная установка.

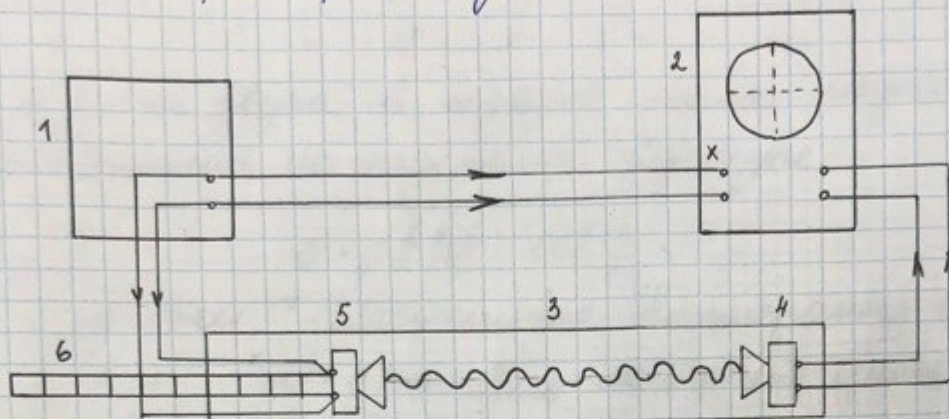


Рисунок. Блок-схема лабораторной установки

Блок-схема приведена на рисунке.

Электрические колебания звуковой частоты, полученные при помощи генератора ①, подаются одновременно на пластинку X осциллографа ② и на шеледрон ⑤. Звук от шеледрона распространяется вдоль полой трубы ③ и достигает микрофона ④. В электрической цепи микрофона возникает электрический сигнал на той же частоте, что и на выходе генератора, но с некоторой задержкой по фазе. Этот сигнал подается на пластинку Y осциллографа. На экране появляется эллипс, форма которого зависит прежде всего от разности фаз колебаний, подаваемых на разные пластинки осциллографа. При изменении расстояния, которое можно измерить линейкой ⑥, между шеледроном и

микрофонов изменяется разность фаз колебаний, а следовательно, и форма эллипса.

Рабочие формулы.

Скорость звука v связана с длиной волны λ и частотой колебаний ν отношением:

$$v = \lambda \nu \quad (1)$$

Скорость звука в воздухе можно теоретически рассчитать по следующей формуле:

$$v = \sqrt{\frac{\gamma RT}{M}} \quad (2),$$

в которой T — абсолютная температура;

$M = 0,029 \frac{\text{кг}}{\text{моль}}$ — молярная масса воздуха;

$R = 8,314 \frac{\text{Дж}}{\text{моль} \cdot \text{К}}$ — универсальная газовая постоянная;

$$\lambda = 2 \operatorname{tg} \alpha \quad (3),$$

где $\operatorname{tg} \alpha = k$ — угловой коэффициент прямой, которая представляет зависимость λ от α наблюдаемую в опыте

$$T = t + 273,15 \quad (4),$$

где T — абсолютная температура по шкале Кельвина, t — температура воздуха после опыта

$$\lambda_{\text{ср}} = \frac{\lambda_{\text{пр}} + \lambda_{\text{об}}}{2} \quad (5),$$

где $\lambda_{\text{ср}}$ — положение шепрона в течение опыта, см.,

$\lambda_{\text{пр}}$ — положение шепрона в прямом направлении,

$\lambda_{\text{об}}$ — положение шепрона в обратном направлении

vk.com/club152685050

vk.com/id446425943

Результаты измерений и вычисления:
при $\nu_1 = 1500 \text{ Гц}$

n	1	2	3
$l_{np}(\text{см})$	23	47	—
$l_{об}(\text{см})$	11	35,5	59
$l_{ср}(\text{см})$	17	41,15	59
$\lambda_1 = 23,6 \text{ см}$	сист. погр. $\Delta \lambda_1$		0,08 см
$v_1 = 354 \text{ м/с}$	сист. погр. Δv_1		2,3 м/с

таблица 1

при $\nu_2 = 2000 \text{ Гц}$

n	1	2	3	4
$l_{np}(\text{см})$	17	35	52	—
$l_{об}(\text{см})$	9	26,5	43	60
$l_{ср}(\text{см})$	13	30,75	47,5	60
$\lambda_2 = 17,1 \text{ см}$	сист. погр. $\Delta \lambda_2$		0,06 см	
$v_2 = 342,9 \text{ м/с}$	сист. погр. Δv_2		2,2 м/с	

таблица 2

$$T = 292,15 \text{ К}$$

$$v_{теор} = 344,76 \text{ м/с}$$

vk.com/club152685050

vk.com/id446425943

Примеры вычислений:

на примере значений таблицы 1.

$$1. \quad l_{ср1} = \frac{l_{np1} + l_{об1}}{2} = \frac{23 + 11}{2} = 17 \text{ см}$$

$$2. \quad \lambda_1 = \frac{2 \Delta l}{n} = 2 \tan \alpha = \frac{2 \cdot 59}{5} = 23,6 \text{ см}$$

$$3. \quad v_1 = \lambda_1 \cdot \nu_1 = 23,6 \cdot 1500 = 354 \text{ м/с}$$

$$4. \quad v_{теор} = \sqrt{\frac{7 \cdot 8,31 \cdot 292,15}{5 \cdot 0,0291}} = 344,76 \text{ м/с}$$

$$5. \quad \tan \alpha_1 = \frac{\Delta l}{n} = \frac{59}{2} = 29,5$$

$$B. T = 273,15 + 19 = 292,15 K$$

Вычисление погрешностей:

$$\Delta l = 0,2 \text{ мм}; \Delta n = 0$$

$$\Delta \nu = 5 \text{ Гц}$$

Вывод формулы для систематической погрешности косвенного измерения длины волны

$$\lambda = \frac{2l}{n} \Rightarrow \lambda \sim (l; \frac{1}{n}) \Rightarrow \Delta \lambda = \lambda \left(\frac{\Delta l}{l} + \frac{\Delta n}{n} \right)$$

Пример вычисления:

$$\Delta \lambda = 23,6 \left(\frac{0,2}{59} + 0 \right) = 0,08 \text{ см}$$

Вывод формулы погрешности для скорости:

$$\Delta v = v \left(\frac{\Delta \lambda}{\lambda} + \frac{\Delta \nu}{\nu} \right)$$

Пример вычисления:

$$\Delta v = 354 \cdot \left(\frac{0,08}{23,6} + \frac{5}{1500} \right) = 2,3 \text{ м/с}$$

Вывод:

В ходе лабораторной работы получились определять скорость звуковой волны теоретически и практически.

$$v_{\text{теор}} \approx v_{\text{факт}}; 341,76 \text{ м/с} \approx 342,9 \text{ м/с}$$

$$\lambda_1 = 23,6 \pm 0,08 \text{ см}$$

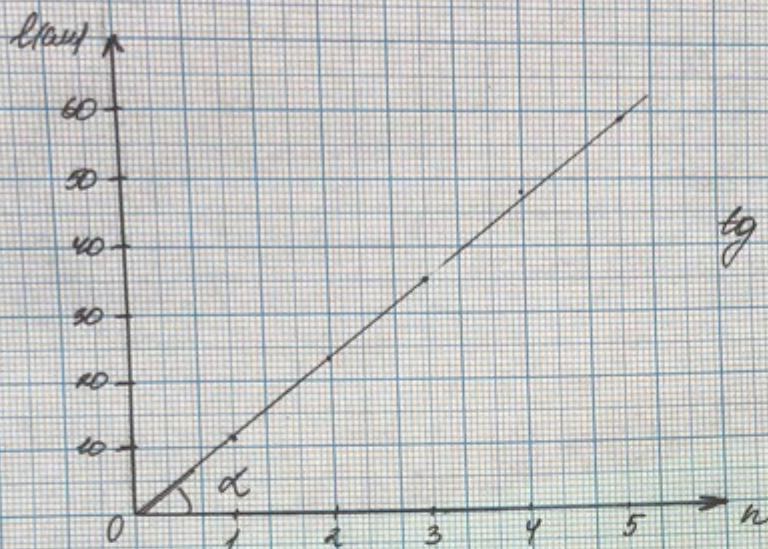
$$\lambda_2 = 17,1 \pm 0,06 \text{ см}$$

Все отклонения находятся в пределах допустимых погрешностей.

vk.com/club152685050

vk.com/id446425943

График зависимости положения
искателя от порядкового номера n .
в.ч.

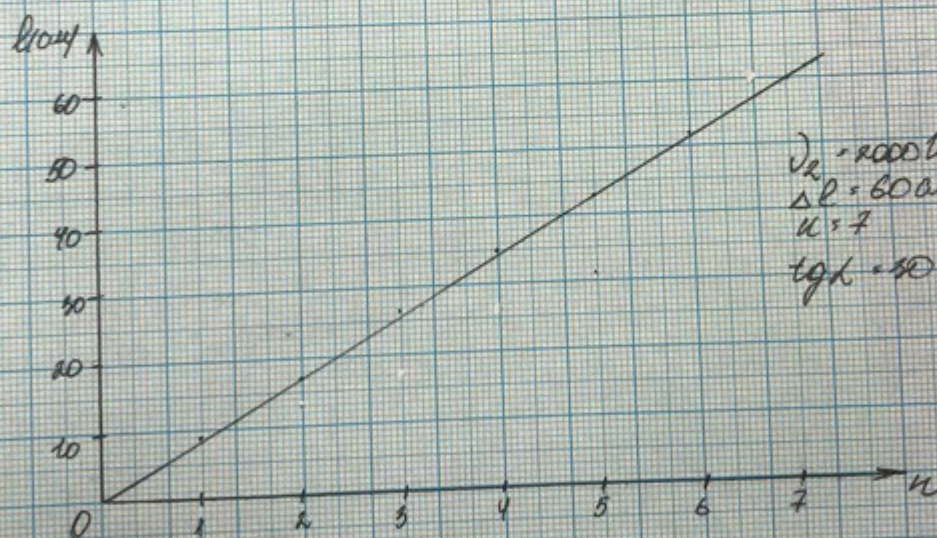


$$\lambda_1 = 1500 \text{ нм}$$

$$\Delta L = 59 \text{ см}$$

$$n = 5$$

$$\tan \alpha = \frac{59}{\lambda} = 19,5$$



$$\lambda_2 = 1000 \text{ нм}$$

$$\Delta L = 60 \text{ см}$$

$$n = 7$$

$$\tan \alpha = 10$$

vk.com/club152685050

vk.com/id446425943

- Дифференцированный зачет
- Книги
- ЛР Крутильный маятник
- ЛР Математический и физический маятники
- ЛР Машина Атвуда
- ЛР Маятник Максвелла
- ЛР Определение показателя адиабаты для воздуха
- ЛР Определение скорости звука в воздухе
- ЛР Определение электрического сопротивления
- ЛР Столкновение шаров
- Для протоколов Коваленко И.И.
- Коваленко Иван Иванович
- конспект1
- конспект2
- конспект3
- Лабораторный практикум
- Литвинова Надежда Николаевна
- Физика конспект

СКАЧАТЬ https://yadi.sk/d/RqO8HPxTfh0z_w

СКАЧАТЬ https://archive.org/details/@guap4736_vkclub152685050



vk.com/club152685050
vk.com/id446425943

Лабораторная работа № 10

ОПРЕДЕЛЕНИЕ СКОРОСТИ ЗВУКА В ВОЗДУХЕ

Цель работы: определение скорости распространения звуковых волн в воздухе.

Теоретические сведения

Звуковые волны представляют собой процесс распространения механических колебаний с частотами в диапазоне от 20 Гц до 20 кГц. Скорость звука v связана с длиной волны λ и частотой колебаний ν соотношением:

$$v = \lambda \nu. \quad (10.1)$$

Скорость звука в воздухе можно теоретически рассчитать по формуле

$$v = \sqrt{\frac{7}{5} \cdot \frac{RT}{M}}, \quad (10.2)$$

в которой T – абсолютная температура; $M = 0,0291$ кг/моль – молярная масса воздуха; $R = 8,314$ Дж/К·моль – универсальная газовая постоянная.

Уравнение волны, распространяющейся вдоль оси (ox), имеет вид

$$\xi(x, t) = A \cos(\omega t - kx). \quad (10.3)$$

В этой формуле ξ – смещение точки среды из положения равновесия, находящегося на расстоянии x от источника; ω – циклическая частота колебаний; $k = 2\pi/\lambda$ – волновое число. Фаза колебаний

$$\varphi = \omega t - kx = \frac{2\pi t}{T} - \frac{2\pi x}{\lambda} \quad (10.4)$$

зависит от времени и от положения точки. Разность фаз колебаний двух соседних точек зависит только от расстояния Δx между ними

$$\Delta\varphi = \frac{2\pi\Delta x}{\lambda}. \quad (10.5)$$

Таким образом, длину звуковой волны можно найти, измерив на опыте величины Δx и $\Delta\varphi$. Разность фаз колебаний можно определить методом сложения двух взаимно перпендикулярных колебаний.

Точка, совершающая одновременно два колебания во взаимно перпендикулярных направлениях, движется по замкнутым траекториям, называемым *фигурами Лиссажу*. В случае равенства частот эти фигуры представляют собой эллипсы, форма и ориентация которых зависит от амплитуд и от разности фаз складываемых колебаний.

Рассмотрим два гармонических колебания одинаковой частоты, одно из которых происходит вдоль оси (ox), а другое – вдоль (oy). Для простоты начальную фазу первого колебания положим равной нулю:

$$\begin{aligned}x &= A_1 \cos(\omega t), \\y &= A_2 \cos(\omega t + \Delta\varphi).\end{aligned}\tag{10.6}$$

Уравнение траектории точки, одновременно участвующей в этих двух колебаниях, найдем, исключив время t из уравнений (10.6):

$$\begin{aligned}&\begin{cases} x/A_1 = \cos \omega t, \\ y/A_2 = \cos \omega t \cos \Delta\varphi - \sin \omega t \sin \Delta\varphi; \end{cases} \Rightarrow \\ \Rightarrow & y/A_2 = (x/A_1) \cos \Delta\varphi - \sin \Delta\varphi \sqrt{1 - (x/A_1)^2}; \Rightarrow \\ & (x/A_1)^2 + (y/A_2)^2 - \frac{2xy \cos \Delta\varphi}{A_1 A_2} = \sin^2 \Delta\varphi.\end{aligned}\tag{10.7}$$

Получилось уравнение наклонного эллипса, ориентация и полуоси которого зависят от амплитуд A_1, A_2 и от разности фаз $\Delta\varphi$ (рис. 10.1, а). Если $\Delta\varphi = 2\pi k$, где k – целое число, получим уравнение отрезка прямой, проходящего через 1-й и 3-й квадранты (рис. 10.1, б):

$$y = (A_2/A_1)x.\tag{10.8}$$

Если $\Delta\varphi = (2k+1)\pi$, где k – целое число, получим уравнение отрезка прямой, проходящего через 2-й и 4-й квадранты (рис. 10.1, в):

$$y = -(A_2/A_1)x.\tag{10.9}$$

Если $\Delta\varphi = (k+0,5)\pi$, где k – целое число, получим уравнение эллипса, ориентированного вдоль координатных осей (рис. 10.1, г):

$$\left(\frac{x}{A_1}\right)^2 + \left(\frac{y}{A_2}\right)^2 = 1.\tag{10.10}$$

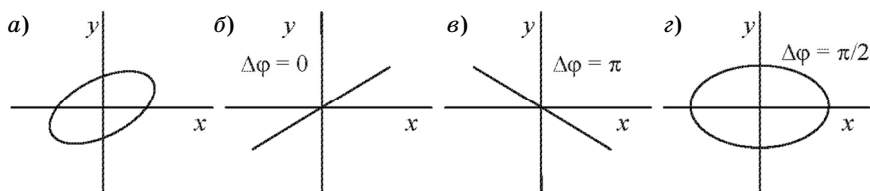


Рис. 10.1. Различные траектории движения точки

Таким образом, по форме наблюдаемого эллипса можно определить разность фаз колебаний $\Delta\varphi$. В дальнейшем особый интерес будут представлять случаи б) и в), когда эллипс вырождается в отрезок. Эти случаи удобно наблюдать экспериментально. Существует, что изменение фазы от одного из них к другому составляет $\Delta\varphi = \pi$.

В настоящей работе звуковой сигнал с телефона попадает на микрофон, находящийся на расстоянии ℓ от него. Сигналы с телефона и с микрофона подаются на отклоняющие пластины x и y электронного осциллографа соответственно. Расстояние ℓ можно изменять и измерять во время эксперимента; вместе с ним, согласно формуле (10.5), меняется и разность фаз $\Delta\varphi$ колебаний телефона и микрофона. Поскольку по картинке на экране осциллографа можно зафиксировать лишь разности фаз $\Delta\varphi$ кратные π , при которых эллипс вырождается в отрезок, величина $n = \Delta\varphi / \pi$ на опыте должна принимать только целые значения. Она увеличивается на единицу всякий раз, когда при увеличении расстояния ℓ на экране эллипс превращается отрезок.

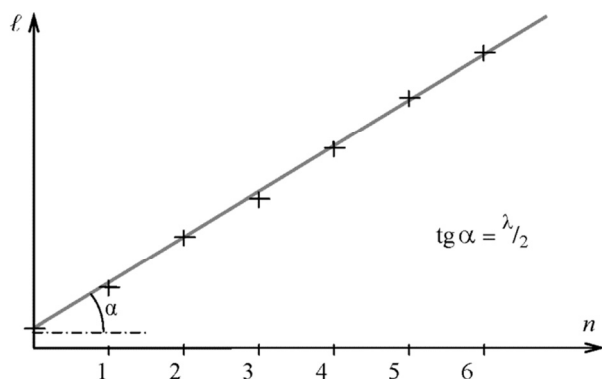


Рис. 10.2. Экспериментальная зависимость ℓ от n

С учетом сказанного формулу (10.5) можно переписать в виде

$$\Delta \ell = \frac{n\lambda}{2}. \quad (10.11)$$

Зависимость $\ell(n)$ наблюдаемая в опыте (рис.10.2), должна представлять собой прямую линию, по угловому коэффициенту ($k = \operatorname{tg} \alpha$) которой можно найти длину волны λ :

$$\lambda = 2 \operatorname{tg} \alpha. \quad (10.12)$$

Подставив полученное таким способом значение длины волны λ и установленную на звуковом генераторе частоту колебаний в формулу (10.1), можно найти скорость звуковых волн.

Лабораторная установка

Блок-схема лабораторной установки приведена на рис. 10.3.

Электрические колебания звуковой частоты, полученные при помощи генератора 1, подаются одновременно на пластины x осциллографа 2 и на телефон 5. Звук от телефона распространяется вдоль полой трубы 3 и достигает микрофона 4. В электрической цепи микрофона возникает электрический сигнал на той же частоте, что и на выходе генератора, но с некоторой задержкой по фазе. Этот сигнал подается на пластины y осциллографа. На экране появляется эллипс, форма которого зависит кроме всего прочего от разности фаз колебаний, подаваемых на разные пластины осциллографа. При изменении расстояния, которое можно измерить линейкой 6, между телефоном и микрофоном изменяется разность фаз колебаний, а следовательно, и форма эллипса.

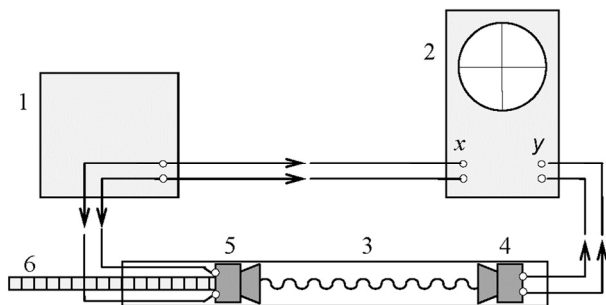


Рис. 10.3. Блок-схема лабораторной установки

Задания и порядок их выполнения

Задание 1. Экспериментальное определение скорости звуковых волн в воздухе.

До начала измерений нужно на 2–5 мин включить для прогрева осциллограф и звуковой генератор.

Задание выполняется в следующем порядке.

Установить заданную частоту колебаний.

Пользуясь ручками настройки осциллографа и изменяя величину выходного напряжения, добиться на экране осциллографа четкого, устойчивого эллипса.

Перемещая телефон по трубе, добиться появления на экране прямой линии. Отметить это положение на шкале как ℓ_1 .

Медленно перемещая телефон в ту же сторону, снова получить на экране прямую линию, но уже наклоненную в другую сторону, т. е. проходящую через другие квадранты. Отметить соответствующее положение телефона как ℓ_2 .

Повторить предыдущий пункт столько раз, сколько это возможно и получить набор положений телефона $\ell_1, \ell_2, \ell_3, \dots$, в которых эллипс вырождается в отрезок прямой. Получить еще один такой же набор данных, перемещая телефон в обратном направлении, и усреднить результаты.

Построить график зависимости положения телефона ℓ_n , от порядкового номера n , как это показано на рис.10.2.

Систематическую погрешность расстояния принять равной $\theta_\ell = 2$ мм. Систематическую погрешность θ_n , связанную с неточностью определения точки вырождения эллипса, не учитывать; $\theta_n = 0$.¹

Графически найти длину звуковой волны λ и ее систематическую погрешность.

По формуле (10.1) найти скорость звуковых волн.

Повторить измерения для звукового сигнала другой частоты.

Задание 2. Теоретический расчет скорости звуковых волн в воздухе.

Вычисления нужно проводить по формуле (10.2), значения констант, необходимые для расчета, указаны в комментариях к формуле. Для определения температуры воздуха t °C нужно вос-

¹ В случае, когда эллипс не полностью вырождается в отрезок, следует считать $\theta_n = 0,1$.

пользоваться термометром. Абсолютную температуру T можно найти по формуле:

$$T(\text{K}) = t\text{ }^{\circ}\text{C} + 273,15\text{K}. \quad (10.13)$$

Контрольные вопросы

1. Что называется звуковой волной?
2. Чем отличаются волновые процессы от колебательных?
3. Что такое длина волны и чему она равна?
4. Запишите уравнение бегущей волны и поясните смысл всех величин, в нее входящих.
5. От чего зависит фаза волны? Чему равна разность фаз колебаний двух точек?
6. Получите уравнения траектории точки, участвующей в двух взаимно перпендикулярных колебаниях одинаковой частоты?
7. В каких случаях траектория вырождается в отрезок?
8. Как определяется длина звуковой волны в данной работе?
9. Как зависит скорость звука от температуры воздуха?